

УДК 004.272.26

DOI: 10.21779/2542-0321-2023-38-4-25-31

C.В. Шалагин

Сложность вычисления нелинейных полиномиальных функций над полем Галуа в архитектуре ПЛИС/FPGA

Казанский национальный исследовательский технический университет им. А.Н. Туполева – КАИ; Россия, 420111, г. Казань, ул. Карла Маркса, 10;
SShalagin@mail.ru

Аннотация. Получены оценки аппаратной сложности вычисления нелинейной полиномиальной функции, определённой над полем Галуа, в архитектуре ПЛИС класса FPGA. Оценки получены на основе однотипных IP-ядер двух типов, количество которых определено при использовании 2^k -арного дерева. IP-ядра первого типа определены по количеству листьев дерева, IP-ядра второго типа – по количеству остальных вершин данного дерева. Оценки сложности самих IP-ядер получены исходя из структуры реконфигурируемых однотипных логических элементов заданной ПЛИС/FPGA. Оценки сложности нелинейной полиномиальной функции вычислимы по количеству LUT-таблиц и блоков ввода-вывода для различных ПЛИС/FPGA – как для существующих, так и для перспективных.

Ключевые слова: нелинейная функция, поле Галуа, сложность, ПЛИС.

Введение

В настоящее время актуальны задачи высокоскоростной обработки массивов данных большого объема [1–6]. Одним из подходов к решению данного класса задач является их аппаратная реализация при использовании специализированных ЭВМ, архитектура которых отличается от фон-неймановской. В качестве аппаратной базы для решения таких задач применимы программируемые логические интегральные схемы класса FPGA (ПЛИС) [7–9]. Перспективным подходом к реализации высокоскоростной обработки и генерирования массивов данных на ПЛИС является применение систем нелинейных полиномиальных функций (НПФ) от заданного числа переменных, определённых над полем Галуа [10; 11]. Особенностью арифметики полей Галуа является то, что их элементы представимы двоичными векторами и операции над данными векторами допускают распределённые вычисления на уровне отдельных разрядов. Под распределёнными вычислениями будем понимать параллельные вычисления, выполняемые с сохранением промежуточных результатов. Архитектура ПЛИС включает в себя большое количество конфигурируемых логических блоков и программируемых межсоединений, что позволяет реализовать распределённые вычисления над двоичными векторами. Данное обстоятельство способствует применению ПЛИС для решения задач распределённого вычисления НПФ, определённых над полем Галуа.

В работе предложена модель вычисления НПФ над $GF(2^k)$ при использовании 2^k -арного дерева, где k – степень поля Галуа. Получены оценки сложности указанной модели на основе количества вершин и листьев данного дерева. Данные оценки позволяют сделать вывод о том, какие именно НПФ (системы НПФ) могут быть реализованы на заданной ПЛИС, как на существующей, так и на перспективной.

Основные понятия и определения

Нелинейную полиномиальную функцию от m переменных над полем Галуа вида $GF(2^k)$ обозначим как НПФ($m, 2^k$) и представим в виде [12]:

$$f(x_1, \dots, x_m) = \sum_{i_1=0}^{2^k-1} f_{i_1}(x_2, \dots, x_m) \cdot x_1^{i_1} = f_0(x_2, \dots, x_m) + \\ + f_1(x_2, \dots, x_m) \cdot x_1 + \dots + f_{2^k-1}(x_2, \dots, x_m) \cdot x_1^{2^k-1}. \quad (1)$$

Коэффициенты $f_{i_1}(x_2, \dots, x_m)$ в формуле (1) представимы согласно формулам вида [10]:

$$f_{i_1 \dots i_{d-1}}(x_d, \dots, x_m) = \sum_{i_d=0}^{2^k-1} f_{i_1 \dots i_d}(x_{d+1}, \dots, x_m) \cdot x_d^{i_d}, \quad d = \overline{2, m-1}, \\ f_{i_1 \dots i_{m-1}}(x_m) = \sum_{i_m=0}^{2^k-1} f_{i_1 \dots i_m} \cdot x_m^{i_m}, \quad i_1, \dots, i_{m-1} = \overline{0, 2^k-1}. \quad (2)$$

Согласно (2) НПФ($m, 2^k$) представима при использовании 2^k коэффициентов, значения которых вычисляются на основе заданных НПФ($m-1, 2^k$). В свою очередь, каждая из 2^k НПФ($m-1, 2^k$) представима при использовании 2^k коэффициентов, значения которых получаются на основе заданных НПФ($m-2, 2^k$). В общем случае НПФ($m, 2^k$) представима при использовании $(2^k)^d$ НПФ($m-d, 2^k$), $d = \overline{1, m-1}$, причём для $(2^k)^{m-1}$ НПФ($1, 2^k$) значения $f_{i_1 \dots i_m}, i_1, \dots, i_{m-1} = \overline{0, 2^k-1}$ являются константами.

Процесс вычисления НПФ($m, 2^k$) представим в виде 2^k -арного m -уровневого дерева T , на каждом уровне которого находится своя переменная. Определим для T количество вершин, в том числе вершин, являющихся листьями. Согласно [13] общее количество вершин T равно $(2^{km}-1)/(2^k-1)$, среди которых $2^{k(m-1)}$ – листья.

Формулы вида (1) и (2) описывают процесс вычисления НПФ($1, 2^k$) на основе однотипных операций над элементами поля $GF(2^k)$. Указанные операции могут быть выполнены параллельно в архитектуре ПЛИС.

Оценки сложности НПФ($m, 2^k$)

Введём в рассмотрение однотипные IP-ядра [14], которые позволяют вычислить функцию от (2^k+1) k -разрядных переменных над $GF(2^k)$ согласно (2). Данные IP-ядра разделим на две группы, которые обозначим как IP₁ и IP₂. Ядра из первой группы обозначим как ядра IP₁, а из второй – ядра IP₂. Ядра IP₁ реализуются как НПФ от одной переменной и 2^k констант (соответствуют листьям T). Ядра IP₂ реализованы согласно (2) как НПФ от (2^k+1) переменных. Ввиду того, что на 2^k входов ядер IP₁ подаются константы, они требуют для своей реализации существенно меньше вычислительных ресурсов, чем ядра IP₂. Ядра IP₁ описываются согласно (2) как $(2^k)^{m-1}$ НПФ($1, 2^k$):

$$f_{i_1 \dots i_{m-1}}(x_m) = \sum_{i_m=0}^{2^k-1} f_{i_1 \dots i_m} \cdot x_m^{i_m}, \quad i_1, \dots, i_{m-1} = \overline{0, 2^k-1};$$

ядра IP₂ – как $(2^k)^{m-h}$ НПФ($h, 2^k$), $h = \overline{2, m-1}$, вида:

$$f_{i_1 \dots i_{d-1}}(x_d, \dots, x_m) = \sum_{i_d=0}^{2^k-1} f_{i_1 \dots i_d}(x_{d+1}, \dots, x_m) \cdot x_d^{i_d}, \quad d = \overline{2, m-1},$$

а также как одна НПФ($m, 2^k$) согласно формуле (1) в виде

$$f(x_1, \dots, x_m) = \sum_{i_1=0}^{2^k-1} f_{i_1}(x_2, \dots, x_m) \cdot x_1^{i_1}.$$

На основе вышеизложенного сформулирована

Лемма. Вычисление НПФ($m, 2^k$) реализуемо при использовании однотипных IP-ядер, количество которых равно $(2^{km}-1)/(2^k-1)$, из них принадлежащих к группе IP₁ – $2^{k(m-1)}$, и к группе IP₂ – $(2^{k(m-1)}-1)/(2^k-1)$.

Пусть ядра IP₁ и IP₂, выполняющие операции над $GF(2^k)$, реализуются в архитектуре ПЛИС, которая включает в себя LUT-таблицы и блоки ввода-вывода (БВВ). Для реализации ядер IP₁ требуется Q_1 LUT-таблиц, а для реализации ядер IP₂ – Q_2 LUT-таблиц. Количество входов для двоичных переменных НПФ($m, 2^k$) равно $k \cdot m$, а выходов – k . Данные входы и выходы реализуются при использовании БВВ ПЛИС. Обозначим через $Q(m, 2^k)$ и $I(m, 2^k)$ количество LUT-таблиц и БВВ, требуемых для реализации НПФ($m, 2^k$) на ПЛИС. При этом справедливы соотношения

$$Q(m, 2^k) \leq 2^{k(m-1)} \cdot Q_1 + Q_2 \cdot (2^{k(m-1)} - 1) / (2^k - 1) \text{ и} \quad (3)$$

$$I(m, 2^k) = k(m+1). \quad (4)$$

Имеет место следующая

Теорема. Оценка аппаратной сложности реализации НПФ($m, 2^k$) в архитектуре ПЛИС по количеству LUT-таблиц удовлетворяет неравенству (3), а для БВВ – равенству (4).

Для реализации НПФ($m, 2^k$) в одном корпусе ПЛИС требуется, чтобы оценки (3) и (4) не превышали заданных граничных значений [15]:

$$Q(m, 2^k) \leq k_Q \cdot Q_{\max}, \quad I(m, 2^k) \leq k_I \cdot I_{\max}, \quad (5)$$

где Q_{\max} и I_{\max} – максимальное количество доступных пользователю LUT-таблиц и БВВ в одном корпусе заданной ПЛИС, а k_Q и k_I – допустимые коэффициенты использования ресурсов ПЛИС, установленные эмпирическим путём; обычно $k_Q, k_I \in [0,5, 0,7]$ [16].

Из приведённой выше теоремы вытекает

Следствие. Если оценки сложности НПФ($m, 2^k$) (3) и (4) удовлетворяют условиям вида (5) для заданной ПЛИС, то НПФ($m, 2^k$) пригодна для реализации в одном корпусе данной ПЛИС.

Следствие обосновывает условия, согласно которым определена возможность реализации НПФ($m, 2^k$) в одном корпусе ПЛИС с заданными характеристиками. Причём ПЛИС может быть не только существующей, но и перспективной, в настоящее время находящейся в процессе проектирования.

Анализ полученных результатов

Согласно введённой древовидной модели, вычисление НПФ($m, 2^k$) производится параллельно. Сначала выполняется параллельное вычисление значений $(2^k)^{m-1}$ НПФ($1, 2^k$) при использовании ядер IP₁, на входы каждого из которых подаётся переменная x_m и 2^k констант. Затем выполняется параллельное вычисление при использо-

вании ядер IP_2 и при заданном h вычислении $(2^k)^{m-h}$, $\text{НПФ}(h, 2^k)$ на входы которых по даются $(2^k + 1)$ переменных: x_{m-h+1} и 2^k значений, полученных на основе заданных по формуле (2) $\text{НПФ}((h-1), 2^k)$, $h = \overline{2, m}$. Архитектура ПЛИС позволяет реализовать данные вычисления в одном кристалле и параллельно при выполнении условий, заданных согласно (5).

Однотипные ядра IP_1 и IP_2 адекватно вписываются в архитектуру ПЛИС при заданных значениях степени поля Галуа $k = 2$ и 3 , что будет показано далее. Рассмотрим примеры оценок сложности для частных случаев $\text{НПФ}(m, 2^k)$ при заданном m . Варьирование величины k ограничено количеством входов LUT-таблиц для ПЛИС заданных семейств, которое должно быть больше или равно $2k$.

Оценки Q_1 и Q_2 для $\text{НПФ}(m, 2^2)$ будут вычислены по количеству LUT-таблиц от четырех переменных (для ПЛИС семейств Virtex-4, Quartus II и т. п.) и составляют 2 и 8, соответственно [4; 5]. Для $k = 2$ формулы (3) и (4) имеют вид:

$$Q(m, 2^2) \leq 2 \cdot 4^{(m-1)} + 8 \cdot (4^{(m-1)} - 1) / 3 \text{ и} \quad (6)$$

$$I(m, 2^2) = 2(m+1) \quad (7)$$

Для $\text{НПФ}(m, 2^3)$ оценки $Q_1 = 3$ и $Q_2 = 24$, соответственно, и вычислены по количеству LUT-таблиц от шести переменных (для ПЛИС семейств Virtex-5, Virtex-6, Virtex-7 и т. п. [3]. Формулы (3) и (4) для $k = 3$ имеют вид:

$$Q(m, 2^3) \leq 3 \cdot 8^{(m-1)} + 24 \cdot (8^{(m-1)} - 1) / 7 \text{ и} \quad (8)$$

$$I(m, 2^3) = 3(m+1). \quad (9)$$

Значения, вычисленные согласно (7) и (9), растут линейно при возрастании количества переменных m $\text{НПФ}(m, 2^k)$ при заданном k , $k = 2, 3$.

Значения, полученные по формулам (6) и (8), растут экспоненциально при возрастании m . График роста $Q(m, 2^2)$ в зависимости от m приведён на рис. 1, а соответствующий график для $Q(m, 2^3)$ – на рис. 2. На рис. 1 и 2 по оси абсцисс отложены значения m , ось ординат имеет логарифмическую шкалу.

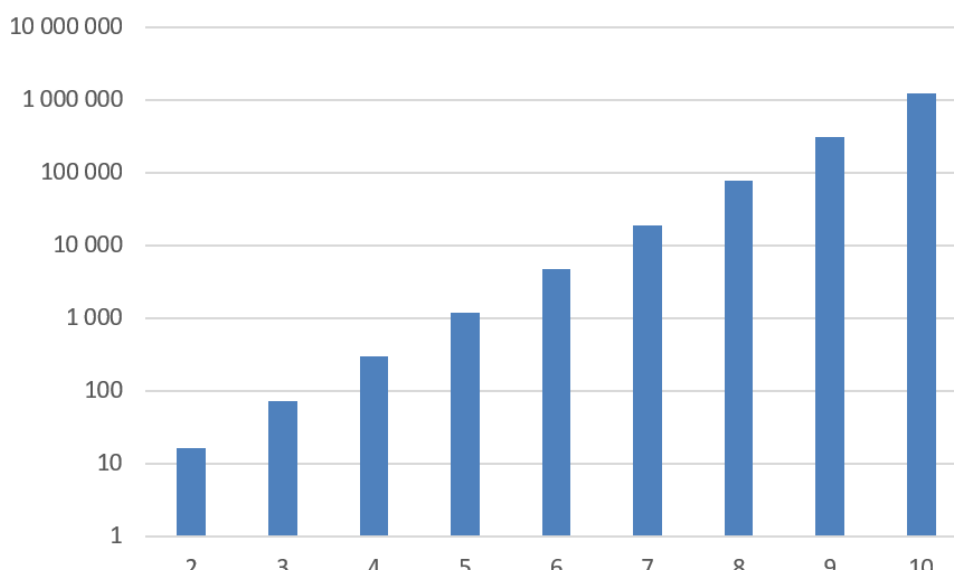


Рис. 1. Зависимость $Q(m, 2^2)$ от количества переменных m

Сопоставим между собой значения на рис. 1 для $m = 3, 6$ и 9 , со значениями на рис. 2 для $m = 2, 4$ и 6 , соответственно. Количество двоичных разрядов, поступающих на вход НПФ $(m, 2^k)$, $k = 2, 3$, при указанных значениях m равно $6, 12$ и 18 . С выходов НПФ $(m, 2^2)$ снимаются два, а с выходов НПФ $(m, 2^3)$ – три бинарных значения. Количество LUT-таблиц от шести переменных, применяемых для реализации НПФ $(m, 2^3)$, будет примерно в $1,45\text{--}1,5$ раза меньше, чем LUT-таблиц от четырёх переменных, применяемых для реализации НПФ $(m, 2^2)$.

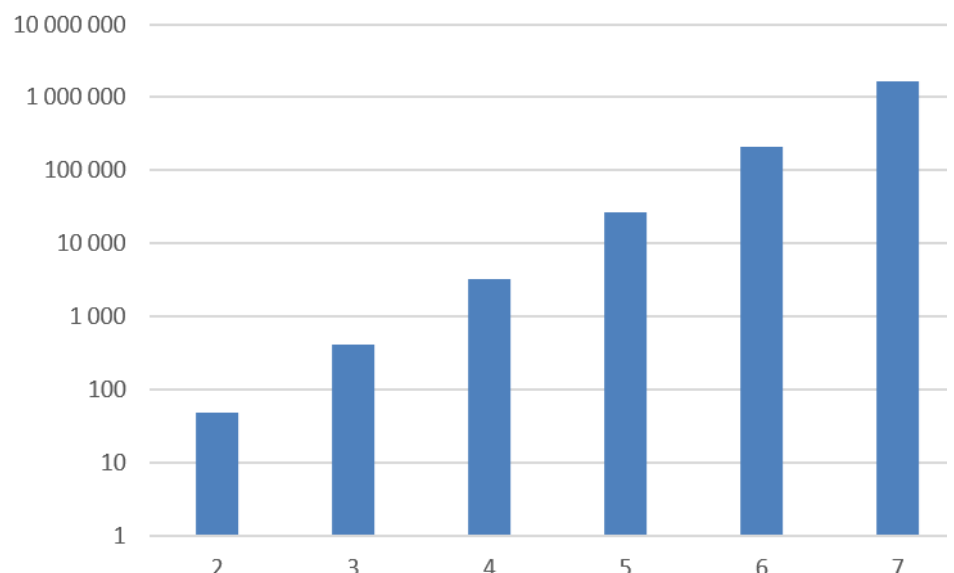


Рис. 2. Зависимость $Q(m, 2^3)$ от количества переменных m

При увеличении количества переменных количество задействованных LUT-таблиц будет превышать величину Q_{\max} , заданную согласно (5) для существующих ПЛИС.

Заключение

Рассмотрена задача оценки сложности вычисления нелинейной полиномиальной функции, определённой над полем Галуа, в архитектуре ПЛИС, в зависимости от количества переменных НПФ($m, 2^k$), $k = 2, 3$. Размерность поля зависит от заданного количества переменных, подаваемых на входы LUT-таблиц внутри ПЛИС. Вычисление НПФ согласно древовидной модели реализуемо на основе однотипных IP-ядер, что делает данный процесс соответствующим архитектуре ПЛИС класса FPGA.

Приведённые вычисления показали, как растёт количество LUT-таблиц и блоков ввода-вывода ПЛИС в зависимости от количества переменных НПФ для поля Галуа степени $k = 2, 3$, над которым определена нелинейная полиномиальная функция.

Литература

1. Кузнецов А.А., Кузнецов П.А., Кузьменко Э.Ю. Правовые основы цифровой экономики в Российской Федерации // Актуальные проблемы государства и права. 2023. Т. 7, № 2 (26). – С. 190–197. – DOI 10.20310/2587-9340-2023-7-2-190–197.
2. Конструктивное моделирование процессов синтеза / В.А. Райхлин, И.С. Вершинин, Р.К. Классен [и др.]; Казанский национальный исследовательский технический университет им. А.Н. Туполева-КАИ. – Казань: Изд-во «Фэн» Академии наук Республики Татарстан, 2020. – 248 с.
3. Макаров А.М., Ермаков А.С. Основы теории интегрального преобразования Меллина и разработка на его базе цифровой модели Эйлерова интеграла первого рода // Вестник Дагестанского государственного университета. Сер. 1: Естественные науки. 2021. Т. 36, вып. 3. – С. 79–88. – DOI 10.21779/2542-0321-2021-36-3-79–88.
4. Магомедов А.М., Лавренченко С.А. Вычислительные средства C# для решения задачи перечисления разбиений прямоугольника // Вестник Дагестанского государственного университета. Сер. 1: Естественные науки. 2020. Т. 35, вып. 4. – С. 13–26. – DOI 10.21779/2542-0321-2020-35-4-13–26.
5. Магомедов А.М., Лавренченко С.А., Ибрагимова З.И. Алгоритм автоматизации создания тестов // Вестник Дагестанского государственного университета. Сер. 1: Естественные науки. 2019. Т. 34, вып. 2. – С. 63–71. – DOI 10.21779/2542-0321-2019-34-2-63–71.
6. Зайченко П.А. Анализ радиационных характеристик тепловыделяющей сборки исследовательского реактора по результатам моделирования облучения в активной зоне // Вестник Дагестанского государственного университета. Сер. 1: Естественные науки. 2020. Т. 35, вып. 3. – С. 12–16. – DOI 10.21779/2542-0321-2020-35-3-12–16.
7. FPGA Leadership across Multiple Process Nodes/ Advanced Micro Devices, Inc. 2023. – Режим доступа: <https://www.xilinx.com/products/silicon-devices/fpga.html>
8. ПЛИС Altera. ООО «Электроника-РА». 2014–2021. – Режим доступа: <https://elra.ru/mikroskhemy/plis-cpld/plis-altera/>
9. Новые российские ПЛИС // Современная электроника. Новости. 2019. – Режим доступа: https://www.soel.ru/novosti/2019/novye_rossiyskie_plis/ (дата обращения: 20.03.2023).

10. Захаров В.М., Шалагин С.В., Эминов Б.Ф. Автоматные марковские модели над конечным полем. – Казань: Спец. фонд управления целевым капиталом для развития Казанского национального исследовательского технического университета им. А.Н. Туполева. – КАИ, 2022. – 328 с.
11. Shalagin S.V. Computing a group of polynomials over a Galois field in FPGA architecture // Mathematics. 2021. Vol. 9, no. 24. – DOI 10.3390/math9243251.
12. Лидл Р., Нидеррайтер Г. Конечные поля: в 2 т. – М.: Мир, 1988.
13. Ахо А., Хопкрофт Дж., Ульман Дж. Построение и анализ вычислительных алгоритмов / пер. с англ. А.О. Слисенко; под ред. Ю.В. Матиясевича. – М.: Мир, 1979. – 536 с.
14. Зотов В.Ю. Проектирование встраиваемых микропроцессорных систем на основе САПР фирмы Xilinx. – М.: Горячая линия – Телеком, 2006. – 522 с.
15. Шалагин С.В. Сложность вычисления нелинейных полиномиальных функций над полем $GF(2^2)$ на ПЛИС/FPGA // Поиск эффективных решений в процессе создания и реализации научных разработок в российской авиационной и ракетно-космической промышленности: материалы Междунар. научно-практич. конф. (Казань, 5–8 августа 2014 г.). – Казань: Изд-во Казанского государственного технического университета, 2014. Т. II. – С. 661–664.
16. Пономарев В.И., Шабалин Л.А. Проектирование реконфигурируемых устройств обработки цифровых потоков данных // Информационные технологии. 1996. № 5. – С. 24–28.

Поступила в редакцию 21 сентября 2023 г.
Принята 15 октября 2023 г.

UDC 004.272.26

DOI: 10.21779/2542-0321-2023-38-4-25-31

The Complexity of Computing Nonlinear Polynomial Functions Over the Galois Field in FPGA-Architecture

S.V. Shalagin

Kazan National Research Technical University named after A.N. Tupolev – KAI; Russia,
420111, Kazan, Karl Marks st., 10; SShalagin@mail.ru

Abstract. The estimates of the hardware complexity of computing a nonlinear polynomial function defined over a Galois field in FPGA-architecture are obtained. The estimates are based on the same model of IP-cores of two types, the number of which is determined using a 2k-ary tree. IP-cores of the first type are determined by the number of leaves of the tree, IP-cores of the second type are determined by the number of other vertices of this tree. The estimates of the complexity of the IP-cores themselves are based on the structure of reconfigurable similar logic elements of a given FPGA. The estimates are calculated by the number of LUT-tables and I/O blocks for various FPGAs, both for existing and prospective ones.

Keywords: nonlinear function, Galois field, complexity, FPGA.

Received 21 September, 2023
Accepted 15 October, 2023